

中央大学 正員 日野幹雄

(株)カナックス技研 佐藤行成, 吉田偉和正, 村本龍夫

要旨：数年来、開発に努めている CT 型 2D レーザ濃度計の高速化による改良を行った。今回は、前報で提案のみであったレーザー光をシリンドリカル・レンズで扇状に拡散する方式を採用し、可動部分を完全に撤去した。また、各(12個の)受光ダイオードが濃度場信号を同時連続記録処理を行い、msオーダーの記録・測定が可能となった。

1. 二つの射光方式の比較

(a) ステップ・モータ式：一列に多数配列したレーザー光源の射出方向をステップ・モーターにより次々に切り替えるこの方式は、強いレーザー光を濃度場に射出しうるので広い濃度範囲の測定が可能である。反面、走査の周期を短くするには、射出方向の切り替えによる機械的な故障と射出・受光信号の電気的同期処理の点において問題があった。

(b) 扇型シート状射光方式：これに対し、前報でも提案しているレーザー光をシリンドリカル・レンズでシート状に射出する方式では、光の強度は弱くなるものの、可動部分を全く有しないので、故障の心配はない。また、射出光源の機械的切り替えがないため、射出・受光信号の同期が容易で、いわゆる「タレ流し」的計測が可能となる。

2. 解析方法：いま、任意の2次元濃度場を、ある関数 $G(x, y; \xi, \eta)$ もしくはこれを離散化し $G(x, y; i, j)$ の二重級数展開として次のように表す。

$$C(x, y) = \sum w_p(i, j) G(x, y; i, j) \quad (1) \quad C(I, J) = \sum w_p(i, j) G(I, J; i, j) \quad (2)$$

通常の場合、関数 $G(x, y, i, j)$ は二重フーリエ展開の基底関数であり、基底関数系は直交系である。しかし、前報にも示したように計測誤差が混入する場合には、二重フーリエ展開法では正しい解に達しなかった。ここでは、前報と同様に G を弾性平板の Green 関数とする仮想荷重法を用いる。このとき式(1)の係数 w_p は、濃度場を弾性平板の撓みとみなすときに平板上に与える“仮想荷重”に相当する。

一方、濃度場を通過する光の強さ I は、空間において吸収（と散乱）により次式に従い減衰する。

$$1/L \cdot dL/dt = -\lambda C \quad (3) \quad I = x/\sin \theta \quad (4)$$

ここに、 I : No.p 光源から No.r 受光点へ向かう光路に沿う距離、 θ : x 軸に対する射出角。また、 L_{pr} : p 光源から光の r 受光点での光強度、 L_{pp} : 光源での光強度とすれば、

$$\ln(L_{pr}/L_{pp}) = -\lambda \int C(x, y + x \tan \theta) dx / \cos \theta \quad (= -\lambda R) \quad (5)$$

式(5)に式(2)を代入して、整理すれば次の行列表示が得られる（詳しくは、日野（1997）参照）。

$$[GG][w] = [R] \quad (6) \quad \text{ここに, } GG = \int G(x, y + x \tan \theta; \xi, \eta) dx / \cos \theta \quad (7)$$

3. 高速スキャン CT 濃度計装置：CT 型濃度計の信号処理高速化のために、多点レーザーシート光を瞬時に濃度場に照射し、多点のフォトダイオードで受光して得られる透過減衰光信号を高速でデジタル処理し、前述の逆推定法により濃度分布を求めるシステムを試作した。**発光射出源機構**：システムは、測定部、発光受光信号制御・処理インターフェース、およびパーソナルコンピュータにより構成される（図 1,2）。測定部（510 × 300mm）では、レーザーシート発光部（12チャンネル）と受光フォトダイオード・アレイ（12チャンネル）が一定距離を挟んで平行に設置され、水中での実験にも適用できるよう光学ガラス窓を用い、耐水性を有する金属枠で保護されている。個々の半導体レーザー（出力30mW；波長685nm）はシリアルレンズおよびロッドレンズと一緒に組み込まれ、広がり角度約40°（水中で約32°）、厚さ約0.3～0.4mmの強度一様なシート光を発光する。濃度場への照射時間は、適切な受光信号出力および読み込み速度とも関連し、最短1.76ms（12チャンネルの場合）である。発光源レーザーは、順次位相をもって点滅を切り替える。つまり、第 i 番目のレーザー光源は扇形に広がって全受光ダイオードに同時に向けて射出され、 $\angle \tau$ 時間発光した後に次の第 (i+1) 番のレーザー光源が発光する。**受光処理機構**：一方、受光側のフォト・ダイオードは、それぞれ発光レーザー・ダイオードの濃度場透過信号を連続的に受光し、それが何

キーワード：濃度計、CT スキャン、逆問題、レーザ測定、高速スキャン

連絡先：〒251-0033（自宅）藤沢市片瀬山4-20-6

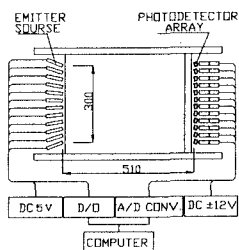


図1 高速処理CT濃度計システムブロック図

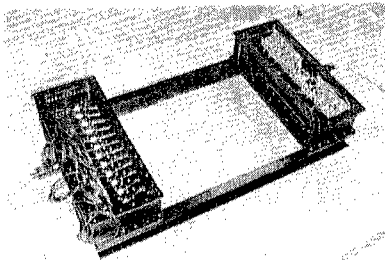


図2 高速処理CT濃度計測定部の外観

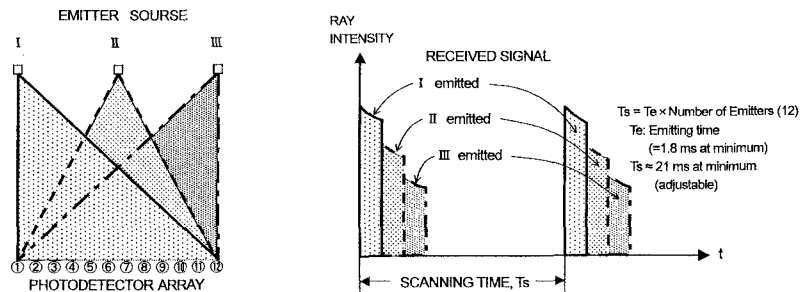


図3 レーザ発光・受光信号のタイミングチャート

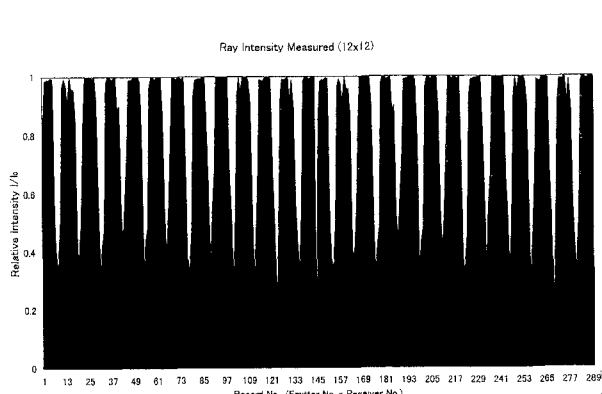


図4 実測例(走査受光信号)

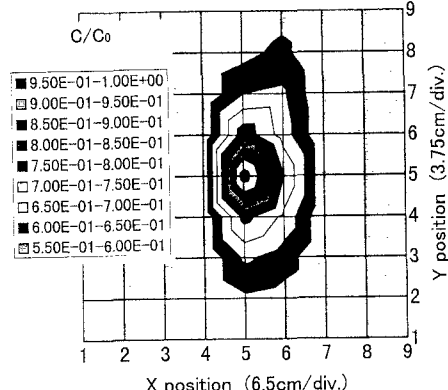


図5 実測例(空気中での噴霧水滴濃度分布)

番目の発光点からの光かを判別するだけで良い。このため、場のースキャンに要する時間は(各発光レーザー・ゲートの発光時間) × (ゲートの個数)となり、msオーダーの短い周期(12チャンネルの場合、約21ms)で可能となる。これによって、ほぼ瞬時の2次元濃度分布の連続的測定が可能となった。なお、今回の実験では、透過減衰光および基準参照光 L_0 の安定性、精度をできるだけ上げるために、約100msに走査時間を設定した。図3、4に、レーザーシート光(Emitter)発光とフォトダイオードアレイ(Receiver)による受光信号の取込みのタイミングチャートを示す。

4. 実測例: 大気中に加湿器より測定断面にはば垂直に平均流速約1m/sで噴霧した微細な水滴の濃度分布の測定結果を示す。図5は、ノズル径約50mmの出口近傍の(20回走査平均)濃度コントラストを示す。これらは、発光点12×受光点12の場合に、(仮想荷重点数7×7、最小自乗法)、仮想荷重法逆推定のアルゴリズムを用いて算出した結果である。

今後、分解能や精度の向上、より複雑な濃度場へ適用などを行い、本システムの実用化を推進したい。

1)日野幹雄(1997): CT型レーザー七砂濃度分布計の開発、科研報告書。2)日野幹雄、佐藤行成(1998): 水工学論文集、42巻、565-576。3)Hino,M. & Sato,Y. (1998): Proc. 9th Int. Symp. on Appl. Laser Tech. to Fluid Mech., Lisbon.